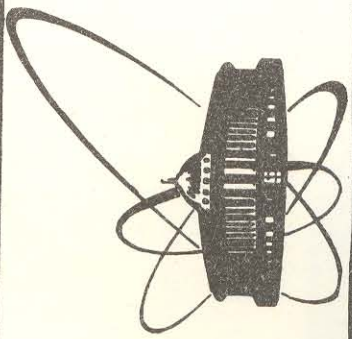


**Объединенный
институт
ядерных
исследований
дубна**



P1-86-435

В.Г.Аблеев¹, Г.Г.Воробьев, Х.Димитров²,
В.Ф.Дмитриев³, С.М.Елисеев, С.А.Запорожец,
В.И.Иноземцев, А.П.Кобушкин⁴, А.Г.Малинин⁵,
Б.Науманн⁶, Л.Науманн⁶, В.Нойберг⁶,
А.А.Номофилов, Л.Пенчев², Н.М.Пискунов,
И.М.Ситник, Е.А.Строковский, Л.Н.Струнов,
В.И.Шаров

ПЕРЕЗАРЯДКА $p(^3\text{He}, t)$
ПРИ ИМПУЛЬСАХ $4,4 - 18,3 \text{ ГэВ}/c$
С РОЖДЕНИЕМ Δ -ИЗОБАР

Направлено в журнал "Ядерная физика"

Редактор М.И.Зарубина. **Макет** Н.А.Киселевой.

Подписано в печать 09.07.86.

Формат 60x90/16. Офсетная печать.

Тираж 505.

Заказ 37928.

Издательский отдел Объединенного института ядерных исследований.
Дубна Московской области.

¹ НИИЯФ МГУ

² ЦЛАНП БАН, София

³ ИЯФ СО АН СССР, Новосибирск

⁴ ИТФ АН УССР, Киев

⁵ ИТЭФ, Москва

⁶ ЦИЯИ АН ГДР, Россендорф

1986

I. ВВЕДЕНИЕ

В этой работе мы продолжаем исследование Δ -изобарных возбужденной ядерной материи в реакции $(^3\text{He}, t)$ перезарядки, основную роль в которой играет спин-изоспиновое ($\vec{\sigma}_1 \vec{\sigma}_2$) возбуждение ядерного или нуклонного вещества с передачей ему энергии в несколько сотен (~ 300) МэВ. Сравнение отыщика ядра и свободного нуклона на таких возбуждениях дает возможность выделить нетривиальные эффекты коллегтивной природы (например, возбуждение Δ -дырокных состояний в ядре, взаимодействие изобары с остовом ядра, отличие свойств изобары в ядре от свойств свободной и т. п.). О существовании таких эффектов говорят качественные различия между поведением сечений $^{12}\text{C}(^3\text{He}, t)$ и $r(^3\text{He}, t)$ реакций, впервые отмеченные нам^{1/2}: а) максимум Δ -изобарного пика в $^{12}\text{C}(^3\text{He}, t)$ перезарядке сдвигнут к меньшим энергиям возбуждения по отношению к положению максимума аналогичного пика в реакции на свободном протоне; б) ширина этого пика намного больше, чем для реакции $r(^3\text{He}, t) \Delta^{++}$; в) отошение выхода $(^3\text{He}, t)$ реакции с рождением изобары на ядре к выходу реакции $r(^3\text{He}, t) \Delta^{++}$ существенно выше, чем ожидается из известных^{3/3} данных об $N/N \rightarrow N/\Delta$ сечениях. Сдвиг изобарного пика и его уширение нельзя объяснить только влиянием чермы-движения нуклонов.

В данной работе представлены результаты анализа экспериментальной информации об инвариантных дифференциальных сечениях $r(^3\text{He}, t) \Delta^{++}$ реакции, измеренных ранее при импульсах $P_{^3\text{He}} = 4, 40; 6, 81$ и $10, 79$ ГэВ/с, а также новые данные при $18, 3$ ГэВ/с. Проведено их сравнение с результатами расчетов, выполненных нами в рамках модели Глаубера - Ситенко^{4/4}. Для импульсов пучка выше $\gtrsim 7$ ГэВ/с нуклон получено хорошее описание измеренных сечений $r(^3\text{He}, t) \Delta^{++}$. Показано также, что расчеты по модели одномезонного обмена (О.Е., см., например, ^{5/5}) сечения удовлетворительно согласуются с нашими данными.

В гл. 2 приводится описание процедуры измерений, обработка экспериментального материала и нормировки полученных дифференциальных сечений. Таблицы сечений и способ введения поправок на конечное импульсное разрешение спектрометра содержатся в гл. 3. Применение моделей Глаубера-Ситенко и О.Е. к анализу изучаемой реакции дано в гл. 4; в заключении суммируются основные результаты работы.

2. ПОСТАНОВКА ЭКСПЕРИМЕНТА И ОБРАБОТКА ДАННЫХ

Измерения импульсных спектров тритонов перезарядки, испущенных под малыми углами, выполнялись на синхрофазотроне ОИИ с помощью магнитного спектрометра "АЛЬФА"/6а/ с пропорциональными камерами. Пучок ядер ^3He интенсивностью от 1,5 до 10 Гц частиц за цикл ускорения выбыл из ускорителя за $0,3 \pm 0,5$ с.

На рис. I показана схема установки в измерениях при импульсах пучка 4,40; 6,81 и 10,79 ГэВ/с. Пучок направлялся на углеродную пленку $(3,446 \text{ г}/\text{см}^2)$ или полизтиленовую ($3,763 \text{ г}/\text{см}^2$) мишень T; поток ядер $(3,446 \text{ г}/\text{см}^2)$ определялся с помощью сцинтилационных телескопов T_1 и T_2 .

На рис. I показана схема установки в измерениях при импульсах пучка 4,40; 6,81 и 10,79 ГэВ/с. Пучок направлялся на углеродную пленку $(3,446 \text{ г}/\text{см}^2)$ или полизтиленовую ($3,763 \text{ г}/\text{см}^2$) мишень T; поток ядер $(3,446 \text{ г}/\text{см}^2)$ определялся с помощью сцинтилационных телескопов T_1 и T_2 .

Для частиц с фиксированным углом вылета из мишени импульсный захват спектрометра составлял величину $\pm 0,015 \text{ R}_0$; угловой захват для тритонов с фиксированным импульсом был равен $\pm 0,05^\circ$.

Накопление данных проводилось в двух режимах: $T_R 1$ и $T_R 2$. Основным режимом был $T_R 1 = S_1 \wedge S_2 \wedge S_3 \wedge S_4$. Контроль эффективности детекторов установки проводился в режиме $T_R 2 = K_1 \wedge K_2 \wedge K_3 \wedge S_0$, со сцинтилационными счетчиками (K_1+K_3) меньшего размера.

Процедура обработки экспериментальной информации была аналогична использованной ранее при исследований (d, p) фрагментации $^{60}\text{Fe}/\text{V}$. Импульс тритонов определялся с точностью $\sigma_p / p \approx 0,5\%$ по координатной информации от пропорциональных камер PC5-PC9. Координаты точки взаимодействия в плоскости, перпендикулярной оси пучка, находились с точностью $S_{x,y} \approx 10 \text{ mm}$ экстраполяцией траектории частицы в окрестность мишени. Точность определения угла вылета из мишени была $S_\theta \approx 0,8 \text{ мрад}$. Число реконструированных событий поправлялось на аппаратурную эффективность спектрометра ($\approx 80\%$) и вычисленную методом Монте-Карло геометрическую эффективность; на границах акселератора соответствующая поправка не превышала 30%.

Сечения перезарядки на протонах были получены разностным методом из измерений с углеродной и полизтиленовой мишнями. Точность их абсолютной нормировки была $\approx 13\%$, $\approx 10\%$ при $R_{3\text{He}} = 4,40; 6,81$ и $10,79 \text{ ГэВ}/\text{с}$ соответственно. Она практически целиком определялась погрешностью нормировки сечений перезарядки на углероде, проведенной следующим образом. В ходе эксперимента мы измерили также (без изменения $^{12}\text{C}/(^3\text{He}, d)$ стрингинга геометрических характеристик установки) сечения $^{12}\text{C}/(^3\text{He}, d)$ стрингинга в области $R_d \approx 2/3 R_{3\text{He}}$ при каждом значении начального импульса и отнормировали на них сечение перезарядки с точностью не хуже 5%.

Таким образом, для получения сечений перезарядки в абсолютных единицах достаточно было определить абсолютную нормировку сетевого стрингинга при $R_d \approx 2/3 R_{3\text{He}}$. При $10,79 \text{ ГэВ}/\text{с}$ неоходимые для этого данные мы получили с точностью нормировки не хуже 7% , для меньших импульсов мы воспользовались тем, что в области максимума сечения стрингинга не зависит от импульса снаряда с точностью не хуже 10%, что следует из данных работ $[60, \text{ в}; \text{Ia}]$. Корректность описанной процедуры подтверждается совпадением отнормированных таким образом сечений $^{12}\text{C}/(^3\text{He}, d)$ перезарядки при $6,8 \text{ ГэВ}/\text{с}$ с сечениями, полученными ранее $[\text{Ia}, \text{ в}]$ другой схеме измерений.

Вклад фона оценивался при измерениях с "пустой" мишенью. По отношению к выходу событий на углеродной мишени он составлял не более 10% как в реакции $(^3\text{He}, t)$ перезарядки, так и в реакции фрагментации $(^3\text{He}, d)$ при всех наших энергиях во всем диапазоне импульсов регистрируемых частиц.

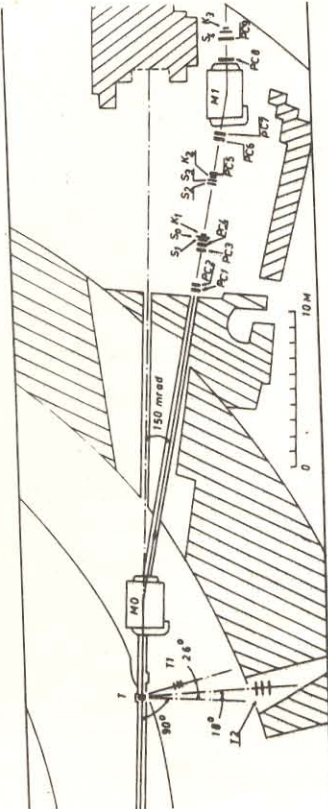
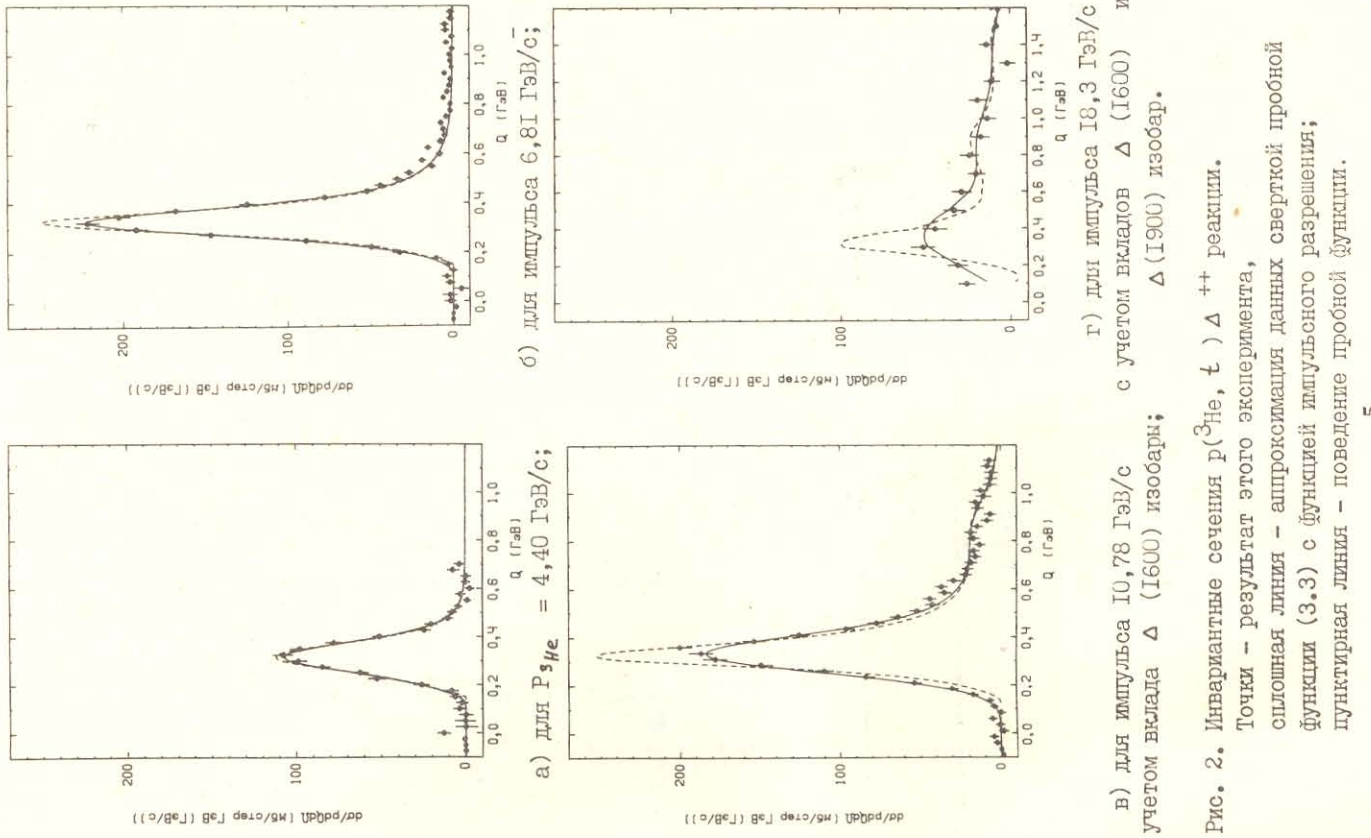


Рис. I. Схема расположения аппаратуры на канале медленного вывода синхрофазотрона ОИИ.

Вылетевшие перед тритоны отклонялись на угол ≈ 150 мрад магнитом МО и регистрировались спектрометром, где измерялись их импульсы и параметры траекторий после МО; продукты других реакций и не испытавший взаимодействия пучок поглощались защитой. Полный импульсный спектр тритонов перезарядки был подведен в результате серии измерений при разных значениях напряженности магнитных полей в МО и МЛ; поля контролировались с точностью $\approx 0,1\%$ с помощью датчиков Холла, а их отношение поддерживалось постоянным (с точностью $\approx 1\%$) при переходе от одного участка импульсного спектра к другому. Магниты были проградиционированы с точностью $\approx 0,3\%$ методом токонесущей нити. При каждой установке полей магнитов спектрометром регистрировались тритоны, испущенные из мишени под углом $\theta_t \lesssim 0,4^\circ$ с импульсами в интервале $|p - p_0| / p_0 \lesssim 6\%$. Здесь p_0 — импульс тритонов, вылетевших из мишени под углом $\theta_t = 0^\circ$ и прошедших через центры счетчиков $S_1 \div S_3$ ($50 \times 50 \text{ mm}^2$) и S_4 ($200 \times 300 \text{ mm}^2$), размеры которых определяли угловой и импульсный захват спектрометра.



Точность определения величины переданной мишени энергии составляет ± 3 МэВ; это контролировалось сравнением ожидаемого по кинематике измеренного положения пика ядерных спин-изоспиновых возбуждений в спектре тритонов из реакции $T_2C(3\text{He}, t)T_2N^*$.

Поскольку магнит МО позволял направлять в спектрометр частицы с импульсом не выше 11 ГэВ/с/2 (Z -заряд частицы), опыт при 18,3 ГэВ/с был выполнен в другой геометрии. Ее главное отличие от схемы, показанной на рис. 1, состояло в том, что мишень Т(6,022 г/см²)утлерода или 7,174 г/см² полистирана) помещалась между блоками пропорциональных камер PC1+PC4 и PC5+PC7; при этом интенсивность пучка определялась максимально допустимой загрузкой детекторов установки и составила $0,5 \cdot 10^6 \pm 1 \cdot 10^6$ частиц/сек. Процедуры накопления и анализа данных для такой конфигурации установки были аналогичны описанным в работе /1,а, б, 7, 8/. Точность абсолютной нормировки предварительных данных при 18,3 ГэВ/с – не хуже 20%.

3. ИНВАРИАНТНЫЕ СЕЧЕНИЯ

Измеренные инвариантные дифференциальные сечения передающей ^3He в тритоны на протонах представлены на рис. 2 и в таблицах I-3 в зависимости от переданной мишени энергии Q , а также квадрата переданного 4-импульса t и пропущенной инвариантной массы ω :

$$(3.1) \quad \begin{aligned} Q &= E_{^3\text{He}} - E_t, \\ t &= Q^2 - \Delta \rho^2, \quad \Delta \rho = \rho_{^3\text{He}} - \rho_t, \\ \omega^2 &= (Q + m_{t\bar{\nu}_t})^2 - \Delta \rho^2, \end{aligned}$$

где $m_{t\bar{\nu}_t}$ – масса мишени. Максимальная величина ω , достижимая при наших импульсах, составляет 1,4; 1,6; 1,7 и 1,95 ГэВ.

Рождение Δ – изобары в $p(^3\text{He}, t)$ реакции может идти в основном за счет диаграммы, изображенных на рис. За+Зг. Из изотопической инвариантности следует, что вклад диаграммы $3\nu(\Gamma)$ в сечение реакции по отношению к вкладу диаграммы За(0) составляет $\approx 10\%$; имеется некоторое дополнительное подавление вклада диаграммы $3\nu(\Gamma)$ (наиболее заметное при низких значениях начального импульса) из-за регистрации тритонов в узком угловом интервале. Таким образом, основной вклад в сечение рождения Δ – изobar в $p(^3\text{He}, t)$ реакции должен давать механизм, отвечающий диаграммам рис. За, б.

Для корректного сравнения дифференциальных сечений, измеренных для разных энергий первичного пучка, необходимо учесть искажение формы спектра, вносимое импульсным разрешением установки. Для этого, как и в работе /8/, с экспериментальными данными сравнивалась (рис. 2) функция (3.3) с функцией импульсного разрешения; пунктирная линия – поведение пробной функции.

Рис. 2. Инвариантные сечения $p(^3\text{He}, t) \Delta \rightarrow \Delta$ реакции.
Точки – результат этого эксперимента, сплошная линия – аппроксимация данных сверткой пребной функции (3.3) с функцией импульсного разрешения;
пунктирная линия – поведение пробной функции.

Табл. 1. ИНВАРИАНТНЫЕ СЕЧЕНИЯ $\frac{d^2\sigma}{P_{\text{ЭHe}} dQ}$ И РЕАКЦИИ $P(\text{He}^3, \ell')$.

Q , M_B	ω , МэВ	$ t \cdot 10^2$ $\text{ГэВ}^2/c^2$	Сечение($\frac{M_0}{c_P \cdot \text{ГэВ}^2/c}$)	Реакции $P(\text{He}^3, \ell')$							
n/p			не поправленные на эфир. разр.	исправленные на эфир. разр.							
1	2	3	4	5	6	7	8	9	10	11	12
1	100	-	-	3,73±3,5	-	18	525	1347	5,15	26,4	±2,8
2	125	-	-	2,21±3,3	-	19	550	1362	5,67	12,5	±2,5
3	150	-	-	6,19±3,3	-	20	575	1377	6,23	18,4	±2,2
4	175	1093	1,32	8,35±3,6	7,93±3,4	21	600	1392	6,81	17,7	±2,1
5	200	1113	1,74	26,1 ±4,3	24,9 ±4,1	22	625	1407	7,42	7,64	±2,0
6	225	1132	2,22	52,5 ±5,0	50,5 ±4,8	23	650	1421	8,06	7,32±1,8	7,07 ±1,7
7	250	1150	2,75	62,4 ±4,7	61,0 ±4,6	24	675	1435	8,73	4,85±1,6	6,69 ±1,6
8	275	1167	3,35	84,9 ±4,9	85,6 ±5,0	25	700	1449	9,43	5,79±1,5	5,60 ±1,5
9	300	1185	4,02	98,8 ±5,0	104,0 ±5,3	26	725	1463	10,2	7,37±1,6	7,12 ±1,6
10	325	1201	4,75	108,0 ±5,7	116,0 ±6,1	27	750	1476	10,9	4,05±1,4	3,91 ±1,4
11	350	1217	5,55	98,0 ±5,4	102,0 ±5,6	28	775	1489	11,7	1,55±1,3	1,50 ±1,3
12	375	1233	6,41	77,8 ±4,8	77,3 ±4,8	29	800	1502	12,5	1,68±1,2	1,62 ±1,2
13	400	1248	7,35	50,9 ±4,0	48,6 ±3,8	30	825	1515	13,4	5,81±1,3	5,59 ±1,3
14	425	1293	8,36	24,6 ±3,9	23,0 ±3,6	31	850	1527	14,3	3,50±1,4	3,36 ±1,3
15	450	1277	9,45	20,5 ±3,6	19,0 ±3,3	32	875	1540	15,2	2,33±1,2	2,24 ±1,2
16	475	1291	10,6	10,6 ±3,0	9,83±2,8	33	900	1552	16,2	1,81±1,2	1,73 ±1,2
17	500	1304	11,8	7,97±2,5	7,39±2,3	34	925	1564	17,1	5,21±1,4	5,06 ±1,4
18	525	1317	13,2	4,33±2,2	4,01±2,0	35	950	1575	18,2	1,01±1,2	0,97±1,1
						36	975	1587	19,2	1,92±1,2	1,83 ±1,2

Табл. 2 $P_{\text{ЭHe}} = 6,807 \text{ ГэВ/с}$

Q , M_B	ω , МэВ	$ t \cdot 10^2$ $\text{ГэВ}^2/c^2$	Сечение($\frac{M_0}{c_P \cdot \text{ГэВ}^2/c}$)	Реакции $P(\text{He}^3, \ell')$							
n/p			не поправленные на эфир. разр.	исправленные на эфир. разр.							
1	2	3	4	5	6	7	8	9	10	11	12
1	100	-	-	4,08 ±2,7	-	-	-	-	-	-	-
2	125	-	-	0,032±2,5	-	-	-	-	-	-	-
3	150	-	-	3,06 ±2,8	-	-	-	-	-	-	-
4	175	1097	0,545	10,2 ±3,1	8,64±2,6	3	160	1086	0,181	17,2 ±3,3	5,53±1,0
5	200	1117	0,713	32,5 ±4,0	28,3 ±3,5	4	185	1107	0,241	30,2 ±4,0	15,4 ±2,0
6	225	1137	0,905	49,5 ±4,8	43,6 ±4,2	5	210	1128	0,311	53,7 ±4,4	32,6 ±2,7
7	250	1157	1,12	88,8 ±5,6	80,5 ±5,1	6	235	1148	0,390	83,6 ±5,2	60,3 ±3,8
8	275	1176	1,36	147,0 ±6,4	143,0 ±6,2	7	260	1168	0,477	110,0 ±5,8	98,5 ±5,2
9	300	1195	1,62	192,0 ±6,9	207,0 ±7,4	8	285	1187	0,574	149,0 ±7,8	169,0 ±8,8
10	325	1213	1,91	222,0 ±7,0	251,0 ±7,9	9	310	1206	0,680	178,0 ±7,3	239,0 ±9,8

Табл. 3 $P_{\text{ЭHe}} = 10,790 \text{ ГэВ/с}$

Q , M_B	ω , МэВ	$ t \cdot 10^2$ $\text{ГэВ}^2/c^2$	Сечение($\frac{M_0}{c_P \cdot \text{ГэВ}^2/c}$)	Реакции $P(\text{He}^3, \ell')$							
n/p			не поправленные на эфир. разр.	исправленные на эфир. разр.							
1	2	3	4	5	6	7	8	9	10	11	12
1	100	-	-	-	-	-	-	-	-	-	-
2	125	-	-	-	-	-	-	-	-	-	-
3	150	-	-	-	-	-	-	-	-	-	-
4	175	1097	0,545	10,2 ±3,1	8,64±2,6	3	160	1086	0,181	17,2 ±3,3	5,53±1,0
5	200	1117	0,713	32,5 ±4,0	28,3 ±3,5	4	185	1107	0,241	30,2 ±4,0	15,4 ±2,0
6	225	1137	0,905	49,5 ±4,8	43,6 ±4,2	5	210	1128	0,311	53,7 ±4,4	32,6 ±2,7
7	250	1157	1,12	88,8 ±5,6	80,5 ±5,1	6	235	1148	0,390	83,6 ±5,2	60,3 ±3,8
8	275	1176	1,36	147,0 ±6,4	143,0 ±6,2	7	260	1168	0,477	110,0 ±5,8	98,5 ±5,2
9	300	1195	1,62	192,0 ±6,9	207,0 ±7,4	8	285	1187	0,574	149,0 ±7,8	169,0 ±8,8
10	325	1213	1,91	222,0 ±7,0	251,0 ±7,9	9	310	1206	0,680	178,0 ±7,3	239,0 ±9,8

I	2	3	4	5	6
10	335	1225	0,795	187,0 ± 7,4	253,0 ± 10,0
II	360	1244	0,920	200,0 ± 7,4	238,0 ± 8,8
12	385	1262	I,05	154,0 ± 6,8	156,0 ± 6,9
13	410	1280	I,12	125,0 ± 5,9	113,0 ± 5,3
14	435	1297	I,35	96,1 ± 5,4	81,8 ± 4,6
15	460	1315	I,51	77,0 ± 5,1	64,6 ± 4,3
16	485	1332	I,69	63,8 ± 4,7	54,1 ± 4,0
17	510	1349	I,87	51,8 ± 4,3	44,9 ± 3,7
18	535	1365	2,06	42,2 ± 4,4	37,4 ± 3,9
19	560	1382	2,26	43,9 ± 4,2	39,6 ± 3,8
20	585	1398	2,47	34,8 ± 3,9	31,8 ± 3,6
21	610	1414	2,70	36,9 ± 3,8	34,2 ± 3,5
22	635	1429	2,93	29,1 ± 4,0	27,2 ± 3,7
23	660	1445	3,17	21,7 ± 3,7	20,5 ± 3,5
24	685	1460	3,42	20,6 ± 3,6	19,7 ± 3,4
25	710	1475	3,67	18,4 ± 3,8	17,8 ± 3,7
26	735	1490	3,96	15,7 ± 3,6	15,5 ± 3,6
27	760	1505	4,24	16,6 ± 3,5	16,7 ± 3,5
28	785	1519	4,54	12,9 ± 3,2	13,2 ± 3,3
29	810	1534	4,84	16,8 ± 3,7	17,4 ± 3,8
30	835	1548	5,16	18,6 ± 3,7	19,5 ± 3,9
31	860	1562	5,49	14,5 ± 3,5	15,2 ± 3,7
32	885	1576	5,83	8,38 ± 3,9	8,66 ± 4,0
33	910	1589	6,18	6,46 ± 3,6	6,56 ± 3,7
34	935	1603	6,54	14,4 ± 3,9	14,3 ± 3,9
35	960	1616	6,91	15,5 ± 3,9	15,1 ± 3,8
36	985	1630	7,29	10,6 ± 4,8	10,2 ± 4,6
37	1010	1643	7,68	12,2 ± 4,5	11,5 ± 4,2
38	1035	1656	8,09	6,61 ± 4,1	6,19 ± 3,8
39	1060	1669	8,51	5,80 ± 3,9	5,39 ± 3,6
40	1085	1681	8,94	5,33 ± 4,2	5,12 ± 3,9
41	1110	1694	9,38	8,17 ± 4,0	7,55 ± 3,7
42	1135	1706	9,83	6,80 ± 3,9	6,28 ± 3,6

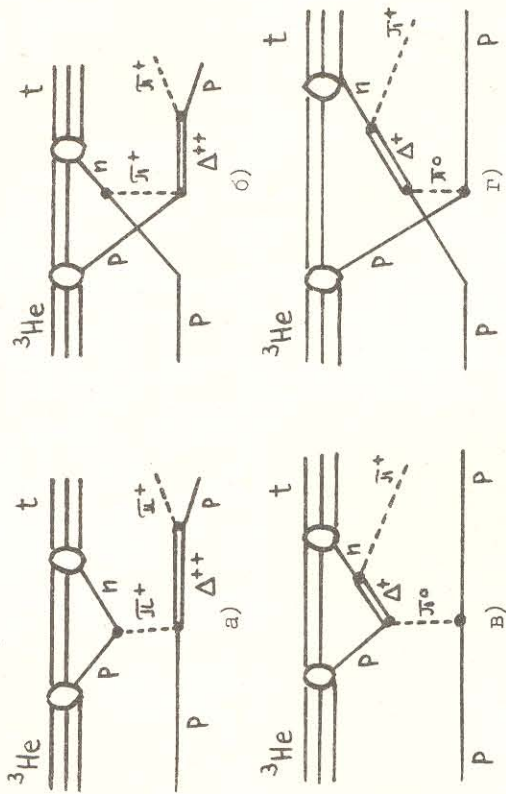


Рис. 3. Диаграммы модели однопаронного обмена для $p(3\text{He}, t)$ реакции (без учета перерассеяний нуклона и изобары в ядре).

свертка $\tilde{F}(Q)$ пробной функции $F(Q)$, аппроксимирующей не локальные разрешением сечения, с функцией разрешения и находились такие значения параметров пробной функции, при которых эта свертка дает наилучшее описание данных:

$$(3.2) \quad \tilde{F}(Q) = \frac{A}{\sqrt{2\pi} \sigma_Q} \int_{-\infty}^{\infty} F(Q - Q_i) e^{-\frac{(Q - Q_i)^2}{2\sigma_Q^2}} dQ_i.$$

Разрешение установки (σ_Q) составляло 19 МэВ, 24 МэВ, 52 МэВ и 125 МэВ для каждого из значений начального импульса. После этого не искались импульсным разрешением инвариантные сечения находились согласно соотношению

$$(\frac{d^2\sigma}{dQ dQ})_{\text{пар.}} = \frac{F(Q)}{F'(Q)} \left(\frac{d^2\sigma}{dQ dQ} \right)_{\text{изм.}}$$

Выбор пробной функции $F(Q)$ основывался на структуре диаграммы рис. 3а; учитывались лишь главные факторы, определяющие форму спектра:

$$(3.3) \quad F(Q) = A \cdot f(t) \cdot \varphi_L(\omega) \cdot \Delta(\omega, t).$$

Здесь A — нормировочный множитель, $f(t) = \exp(\rho^2 t^2 / 3)$ — магнитный формфактор ${}^3\text{He}$, в котором $\rho^2 = r_\pi^2 - r_N^2$, $r_\pi = 1, 935 \text{ fm}$, $r_N = 0, 8 \text{ fm}$; функции $\varphi_L(\omega)$ (описывающая форму резонансной линии) и $\Delta(Q, t)$ (учитывающая внешнемассовые поправки) брались в форме Длексона $/_{\text{Длексона}}$:

$$\varphi_{\mathbf{k}}(\omega) = \frac{\omega_0^2 \Gamma(\omega)}{(\omega^2 - \omega_0^2)^2 + \omega_0^2 \Gamma^2(\omega)};$$

$$\Gamma(\omega) = \Gamma_0 \left(\frac{\rho(\omega)}{\rho(\omega_0)} \right)^3 \rho(\omega)/\rho(\omega_0);$$

$$\rho(\omega) = (2,2 m_F^2 + q^2)^{-1}, \quad q(\omega) = \frac{\lambda^{1/2} (\omega^2, M_N^2, m_B^2)}{2\omega};$$

$$\Delta(\omega, t) = \frac{\lambda (\omega^2, M_N^2)}{\lambda (\omega^2, M_N^2, m_B^2)} \cdot \frac{(\omega + M_N)^2 - t}{(\omega + M_N)^2 - m_B^2};$$

$$q_0 = 227 \text{ МэВ/с}; \quad M_N - масса нуклона и пиона соответственно.$$

Брэйт-вигнеровские параметры ω_0 и Γ_0 , найденные при подгонке в

области $Q \leq 500$ МэВ, хорошо согласуются между собой при всех энергиях.

Их средние значения составляют: $\omega_0 = 1234 \pm 3$ МэВ и $\Gamma_0 = 116 \pm 7$ МэВ. В области $Q > 500$ МэВ и импульсах выше 7 ГэВ/с результат подгонки с учётом только Δ (1232) изобары идет систематически ниже экспериментальных точек. Хорошой аппроксимации данных во всем диапазоне Q удается достичь добавлением в пробную функцию вкладов высших изобар с изоспином 3/2: сечения Δ (1600) и семейства Δ (1900). Их суммарный вклад в сечение $(^3\text{He}, t)$ перезарядки при 18, 3 ГэВ/с (оцененный без учёта возможного нерезонансного фона) составляет 30 \pm 35%.

Исходные и подправленные на импульсное разрешение установки инвариантные дифференциальные сечения приведены в табл. I-3 и на рис. I-4. Относительная статистическая ошибка подправленных сечений при равной относительной статистической погрешности исходных (неподправленных) сечений.

4. РАСЧЕТ ШЛЮФЕРНЦИАЛЬНЫХ СЕЧЕНИЙ $r(^3\text{He}, t) \Delta^{++}$

4.1. Для расчета дифференциальных сечений реакции $^3\text{He} + p \rightarrow ^3\text{He} + \Delta^{++}$ использовалась модель многократного рассеяния Глаубера-Ситенко/4, 13/, учитывавшая перерассеяния нуклона-мишени и рожденной изобары на нуклонах ядра-снаряда. Амплитуда $\mathcal{F}(\vec{k})$ рождения Δ^{++} резонанса в $r(^3\text{He}, t)$ реакции определяется через функции промежуточных сечений $NN-$ и $NN-$ взаимодействия ($\Gamma_{NN}(\vec{b})$) и волновые функции ^3He и тритона:

$$\Gamma_{NN}(\vec{b}) = \frac{1}{2\pi i} \int d\vec{k}_1 \vec{f}_{NN}(\vec{k}_1) d\vec{b}^*, \quad \vec{b} = \{N, \Delta\};$$

$$\mathcal{F}(\vec{k}) = \frac{i}{2\pi} \int d\vec{k} e^{-i\vec{k}_1 \cdot \vec{b}} \sum_{j=1}^3 e^{i\vec{k}_0 \cdot \vec{z}_j} \Gamma_{NN}(\vec{k}_1) \prod_{l=1}^3 (1 - \Gamma_{NN}(\vec{k}_l)) |\psi_{3\text{He}}\rangle.$$

Здесь \vec{z}_j — попечная компонента радиус-вектора j -го нуклона, \vec{z}_j — продольная его компонента, \vec{k}_1 и k_0 — попечная и продольная компоненты переданного при рождении изобары 3-импульса, взятого в системе покоя ядра, \vec{b} — прицельный параметр, $\Gamma_{NN}(\vec{k}_1)$ — амплитуда $NN \rightarrow NN$ сечения, параметризованная обычным образом [13].

После интегрирования по координатам нуклонов (с учётом преобразования Гартенхаузса-Шварца)^[4] и прицельному параметру \vec{b} выражение для сечения $r(^3\text{He}, t) \Delta^{++}$ реакции принимает следующий вид:

$$(4.1) \quad \frac{d^2 \sigma}{p dR d\Omega} = \frac{p}{\kappa} \frac{d\sigma_{pp \rightarrow nn^{++}}}{d\vec{k}_1^2} \frac{d\omega}{R^2(k_1^2 + \kappa_\perp^2)^3} \varphi_{\mathbf{k}}(\omega) g_{rs}(\vec{k}_1^2),$$

где $\varphi_{\mathbf{k}} = 1, \delta_{pp}, \varphi_{\mathbf{q}}(\omega)$ определена в (3.4), $g_{rs}(\vec{k}_1^2)$ — поправка, учитывающая перерассеяние нуклона и Δ — изобары на нуклонах ядра ^3He :

$$(4.2) \quad g_{rs}(\vec{k}_1^2) = \left| 1 - \frac{\sigma_{NN}(1 - i\alpha_{NN})}{2\pi R^2(1 + \frac{\theta_{NN} + \theta_{NA}}{R^2})} \exp \left[\frac{\vec{k}_1^2 R^2}{8} \frac{(1 + 2\theta_{NN} / R^2)}{1 + (\theta_{NN} + \theta_{NA}) / R^2} \right] \right|^2 + \frac{\sigma_{NN}^2(1 - i\alpha_{NN})^2}{12\pi R^6(1 + 2\theta_{NN} / R^2)(1 + 2\theta_{NN} + 2\theta_{NA})} \exp \left[\frac{\vec{k}_1^2 R^2}{3R^2} \frac{(1 + 2\theta_{NA} / R^2)}{6 - 1 + 2\theta_{NN} + 2\theta_{NA}} \right].$$

Здесь σ_{NN} — полное сечение нуклон-нуклонного взаимодействия, α_{NN} — отношение реальной части амплитуды упругого NN — рассеяния вперед к мнимой, θ_{NN} , θ_{NA} — параметры наклона сечений упругого NN — рассеяния и образования Δ^- изобары соответственно. Все эти величины были взяты из компилиции [13] при импульсах нуклона $p_N = \frac{1}{3} P_{3\text{He}}$. Величины $\frac{d\sigma_{pp \rightarrow nn^{++}}}{d\vec{k}_1^2}$ были получены интерполяцией экспериментальных данных [3].

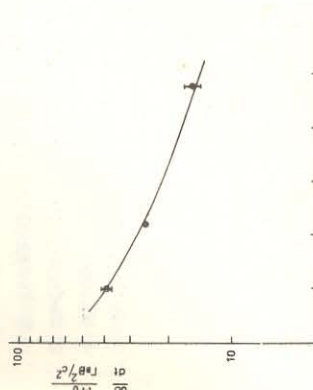
Пространственная компонента волновых функций ядер ^3He и t о сечениях реакции $p p \rightarrow n n^{++}$ (см. рис. 5). При импульсе $p_t = 1,5$ ГэВ/с общая (экспоненциальная) параметризация амплитуды $\Gamma_{NN}(\vec{k}_1^2)$ может оказаться не вполне удовлетворительной. Поэтому расчет сечений реакции $r(^3\text{He}, t) \Delta^{++}$ был выполнен нами для больших импульсов, начиная с 6,81 ГэВ/с.

Пространственная компонента волновых функций ядер ^3He и t о сечениях в факторизованном виде $\psi(p_z^2, \vec{r}_1^2, \vec{r}_3^2) = \left(\frac{1}{\sqrt{4}} \exp(-r_z^2/2R^2) \right) / (r^2 R^2)^{3/4}$ при этом спин-изоспиновые компоненты были антисимметричны относительно перестановок любых двух нуклонов. Небольшое различие (примерно на 10%) радиусов ядер ^3He и t не учитывалось, так как оно слабо влияет на величины рассчитываемых сечений.

Вычисления по формуле (4.1) сечения были проинтегрированы по интервалу углов вылета тритона, соответствующему условиям экспери- мента: $\theta_t \leq 0,4^\circ$ для $\beta_{3\text{He}} = 6,81$ и $10,79$ ГэВ/с и $\Theta_t \leq 0,9^\circ$ для $18,3$ ГэВ/с. Величины ω_0 и Γ_0 , определяющие форму резонансной линии Δ — изобары, полагались равными, соответственно, 1232 и 120 МэВ.

Результаты расчета показаны на рис. 4 сплошной линией. Как видно, они хорошо воспроизводят поведение экспериментальных сечений. Это оправдывает использование модели Глаубера-Ситенко для анализа ($^3\text{He}, t$) перезарядки на сложных ядрах с целью выявления тех эффектов, которые

Рис. 5. Зависимость максимального значения сечения $\frac{d\sigma}{dt} (\rho\rho \rightarrow n\Delta^{++})$ от импульса протона, использованная при глауберовском расчете сечений $p(^3\text{He}, t) \Delta^{++}$.



мы рис. За, б, а также поправка (4.2). Параметры модели, определяющие t – зависимость вершинных формфакторов в реакции $nN \rightarrow n\Delta^{++}$, определялись из экспериментальных данных по $\rho\rho \rightarrow n\Delta^{++}$ реакции [3].

На рис. 5 пунктирной линией показаны результаты такого расчета. Видно, что при 10,8 ГэВ/с он дает заниженную величину сечений; для меньших импульсов модель одномезонного обмена удовлетворительно описывает имеющиеся экспериментальные данные.

5. ОСНОВНЫЕ ИТОГИ ЭКСПЕРИМЕНТА

В работе проведен анализ дифференциальных сечений $d^2\sigma/dQ dt$ реакции $p(^3\text{He}, t)$ при импульсах от 4,4 до 11,8 ГэВ/с, измеренных в зависимости от переданной энергии $Q = E_{^3\text{He}} - E_t$ с точностью абсолютной нормировки $(8 \pm 13)\%$, а также представлены предварительные данные по сечениям этой реакции при 18,3 ГэВ/с.

Этот анализ показывает, что перезарядка ($^3\text{He}, t$) на протонах идет практически целиком через возбуждение Δ – изobar в мишени: в окрестности $Q \sim 300$ МэВ наблюдается хорошо выраженный пик, форма которого описывается Δ – резонансной линией, искаженной формфактором гелия-3. Брэйт-вигнеровские параметры пика – положение ($\omega_0 = 1234 \pm 3$ МэВ) и ширина ($\Gamma_0 = 116 \pm 7$ МэВ) – хорошо соответствуют известным значениям, определенным при описании спектров эффективных масс πN -системы в области Δ – резонанса [14]. Влияние формфактора ядра ^3He на форму пика ослабевает с ростом начальной энергии из-за уменьшения величины $|t|$ – квадрата переданного 4-импульса.

При достаточно больших импульсах (выше 9 ГэВ/с), когда кинематически возможно рождение более тяжелых изобар с изоспином 3/2, они также дают вклад в сечение $p(^3\text{He}, t)$ реакции в области $Q > 500$ МэВ. Оцененный без учета возможного нерезонансного фона, он составляет $\sim (30 \pm 35)\%$ по отношению к интегральному сечению $p(^3\text{He}, t)$ реакции с вылетом триплона "вперед" при $\rho_{^3\text{He}} = 18,3$ ГэВ/с.

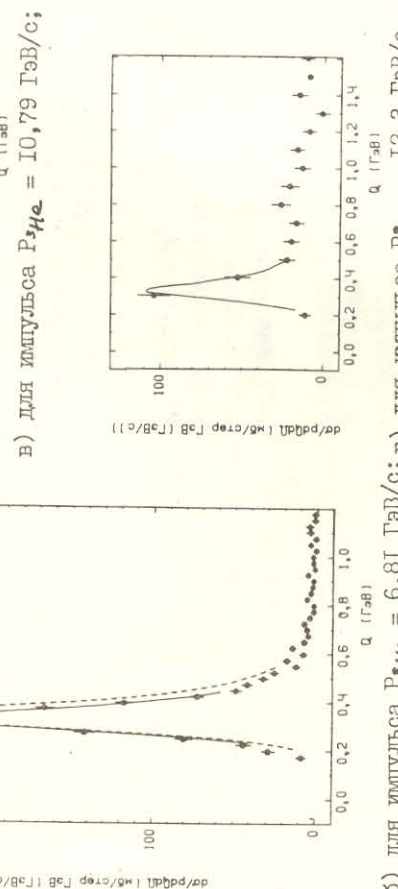
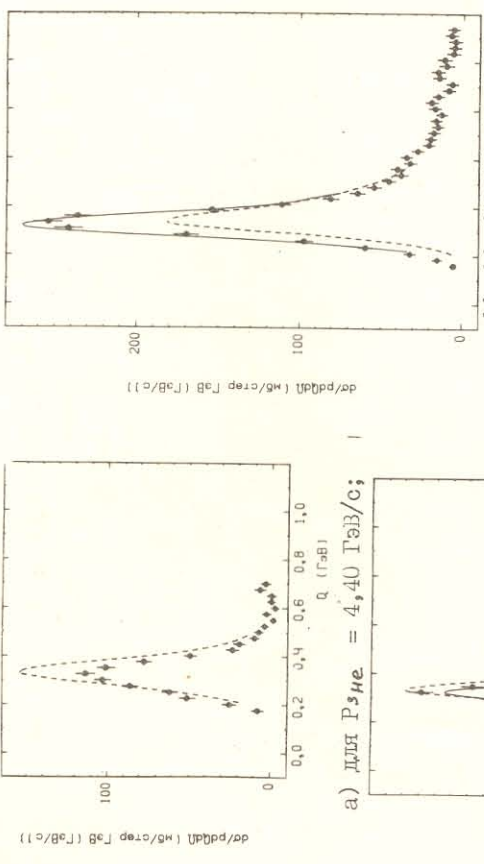


Рис. 4. Инвариантные сечения $p(^3\text{He}, t) \Delta^{++}$ реакции, поправленные на эффекты импульсного разрешения; сплошная линия – результат расчета по модели Глаубера–Ситенко; пунктирная линия – результат расчета по модели ОМЕ.

выходит за рамки присущей глауберовскому подходу картины рождения изобар на движущемся квазиводородном нуклоне и последующего свободного движения изобары в ядре.

4.2. Имея в виду перспективу применения ОМЕ к анализу данных по перезарядке ^3He в тритоны на сложных ядрах, мы провели в рамках ОМЕ расчет сечений ($^3\text{He}, t$) перезарядки на протонах. Учитывались диаграм-

Модель Глаубера-Ситенко, использованная нами для сравнения с экспериментом, хорошо воспроизводит результат измерений; расчёты в рамках модели однодионного обмена дают результаты, также согласую- щиеся с представленными данными. Это открывает перспективу дальней- шего использования модели однодионного обмена для анализа сечений перезарядки ядер 3 He в тритоны на сложных ядрах.

Авторы благодарны сотрудникам Лаборатории высоких энергий за поддержку и интерес к этим исследованиям, а также А.М.Байдину и Ю.В.Гапонову за полезные обсуждения полученных результатов. Мы приз- нательны З.П.Мотиной и Р.Н.Петровой за большую помощь при выполнении этой работы.

1. а) Аблеев Г.Г. и др. ИТЭ, 1978, №2, с. 63.
- б) Аблеев В.Г. и др. ИФ, 1982, 36, с. II-97, с. I-434;
- ж) 1983, 37, с. I-32.
9. Аблеев В.Г. и др., ОИИ, РЛ-84-476, Дубна, 1984; ИФ, 1985, 42, с. 205.
10. Anderson L. et al., Phys. Rev., 1983, C28, p. 1224.
11. Dunn P.S. et al., Phys. Rev., 1983, C27, p. 71.
12. Jackson J.D., Nuovo Cim., 1964, 34, p. 1344.
13. Trefil J.S., Nucl. Phys., 1969, B11, p. 330.
14. Particle Data Group, UCRL-20000 NN, CERN, Geneva, 1970.
15. "Review of Particle Properties", 1982 ed., p. 217. CERN, Geneva, 1982.
16. Bassel R.H., Wilkin C., Phys. Rev., 1968, p. 1179; Gartenzhaus S., Schwarz G.L., Phys. Rev., 1957, p. 482.

ЛИТЕРАТУРА

1. а) Аблеев Г.Г. и др. Труды Ш Заседания семинара "Программа экспериментальных исследований на мезонной фабрике ИЯИ АН СССР", 23-27 апр., 1983г. (Санкт-Петербург), с. 313; Москва, Изд. АН СССР, 1984.
- б) Аблеев V.G. et al. JINR, E1-83-486, Dubna, 1983 ; в) Аблеев В.Г. и др. Чисьма В.И.ЭФ, 1984, 40, с. 35; г) Аблеев V.G. et al. JINR, E1-84-4-38, Dubna, 1984.
2. а) Аблеев V.G. et al., in: "Few Body Problems in Physics", ed. by B. Zeitnitz, 1984, v. II, p. 267, Elsevier Sci. Publishers, B.V., 1984;
- б) Аблеев V.G. et al., in: "PANIC, Book of Abstracts", ed. by E. Guttmann, B. Povh, G. zu Putlitz, 1984, v. II, p. 1-24, Heidelberg, July 30 - August 3, 1984; в) Аблеев В.Г. и др. В кн.: "Нуклон-нуклонные и адрон-ядерные взаимодействия при промежуточных энергиях", Труды симпозиума 23-25 апр. 1984г., с. 293, Ленинград, ЛИФ, 1984г.;
- г) Аблеев V.G. et al., II-nd Int. Conf. on Nucleus-Nucleus Collisions Visby, Sweden, 10-14 June 1985, v. 1: contributed papers (ed. by B.Jakobsson, K.Aleklett), p. 169, 170, Lund Univ. Reprocentralen, 1985.
3. а) Bacon T.C. et al., Phys. Rev., 1964, 162, p. 1320; б) Ming Ma Z. et al., Phys. Rev. Lett., 1969, 23, p. 242; в) Coletti S. et al., Nuovo Cim., 1967, 49, p. 479; г) Bugg D.V. et al., Phys. Rev., 1964, B133, p. 1017;
- д) Eisner A.M. et al., Phys. Rev., 1965, B138, p. 670.
4. Ситенко А.Г., Укр. физ. журн., 1959, 4, с. 152; Glauber R.J., in: "Lectures in Theor. Phys.", Wiley-Inter-Sci., N.Y., 1959, v. 1, p. 315.
5. Ferrari E., Selleri F., Nuovo Cim., 1963, 27, p. 1450; Dürr H.P., Pilkuhn H., Nuovo Cim., 1965, 40, p. 899; Wolf G., Phys. Rev., 1969, 182, p. 1538.
6. а) Аблеев В.Г. и др. ИТЭ, 1983, №1, с. 33; б) Аблеев В.Г. и др. Лисьма в ЖЭФ, 1983, 37, 1996; в) Аблеев V.G. et al., Nucl. Phys., 1983, A393, p. 491; А411, p. 541(Е).

Рукопись поступила в издательский отдел
2 июля 1986 года.

НЕТ ЛИ ПРОБЕЛОВ В ВАШЕЙ БИБЛИОТЕКЕ?

Вы можете получить по почте перечисленные ниже книги, если они не были заказаны ранее.

- Д2-82-568 Труды совещания по исследованием в области релятивистской ядерной физики. Дубна, 1982.
1 р. 75 к.
- ДЭ-82-664 Труды совещания по коллективным методам ускорения. Дубна, 1982.
3 р. 30 к.
- Д3, 4-82-704 Труды IV Международной школы по нейтронной физике. Дубна, 1982.
5 р. 00 к.
- Д11-83-511 Труды совещания по системам и методам аналитических вычислений на ЭВМ и их применению в теоретической физике. Дубна, 1982.
2 р. 50 к.
- Д7-83-644 Труды Международной школы-семинара по физике тяжелых ионов. Альуга, 1983.
6 р. 55 к.
- Д2, 13-83-689 Труды рабочего совещания по проблемам излучения и детектирования гравитационных волн. Дубна, 1983.
2 р. 00 к.
- Д13-84-63 Труды XI Международного симпозиума по ядерной электронике. Братислава, Чехословакия, 1983.
4 р. 50 к.
- Д2-84-366 Труды 7 Международного совещания по проблемам квантовой теории поля. Алушта, 1988.
4 р. 30 к.
- Д1, 2-84-599 Труды VII Международного семинара по проблемам физики высоких энергий. Дубна, 1984.
5 р. 50 к.
- Д17-84-850 Труды III Международного симпозиума по избранным проблемам статистической механики. Дубна, 1984. /2 тома/
7 р. 75 к.
- Д10, 11-84-818 Труды V Международного совещания по прогрессам математического моделирования, программированию и математическим методам решения физических задач. Дубна, 1983
3 р. 50 к.
- Д4-85-851 Труды IX Всесоюзного совещания по ускорителям заряженных частиц. Дубна, 1984 /2 тома/
13 р. 50 к.
- Д11-85-791 Труды Международной школы по структуре ядра, Альуга, 1985.
3 р. 75 к.
- Д13-85-793 Труды XI Международного симпозиума по ядерной электронике. Дубна 1985.
4 р. 80 к.

Заказы на упомянутые книги могут быть направлены по адресу:
101000 Москва, Главпочтamt, п/я 79
Издательский отдел Объединенного института ядерных исследований

P1-86-435
Аблееев В.Г. и др.
Перезарядка $p(^3\text{He}, t)$ при импульсах 4, 4-18, 3 ГэВ/c
с рождением Δ -изобар

Представлены инвариантные дифференциальные сечения реакции перезарядки ядер гелия-3 в тритоны на протонах с рождением Δ -изобар при 4, 40; 6, 81; 10, 79 ГэВ/c и 18, 3 ГэВ/c. Сечения измерены при малых углах вылета тритонов; погрешность их абсолютной нормировки не превосходит 8-13%. Приведенные в работе данные хорошо воспроизводятся расчетом, выполненным в рамках модели Глаубера - Ситенко. Проведено также сравнение с расчетами по модели одномезонного обмена.

Работа выполнена в Лаборатории высоких энергий ОИЯИ.

Работа выполнена в Лаборатории высоких энергий ОИЯИ. Препринт Объединенного института ядерных исследований. Дубна 1986

P1-86-435
Ableev V.G. et al.
 $p(^3\text{He}, t)$ Charge-Exchange Reaction at 4.4-18.3 GeV/c
with Δ -Isobar Production

The invariant differential cross sections of a helium-3 to triton charge-exchange reaction with Δ -isobar excitation on protons at 4.40, 6.81, 10.79 and 18.3 GeV/c are presented. The cross sections are measured at small triton emission angles, the absolute normalization uncertainty is no more than (8-13)%. The data are well reproduced by the calculation made within the framework of the Glauber - Sitenko model. They are also compared with the calculation based on the one-meson-exchange model.

The investigation has been performed at the Laboratory of High Energies, JINR.

Preprint of the Joint Institute for Nuclear Research. Dubna 1986